

## III-51 層理岩盤の掘削特性に関する実験的考察

愛媛大学工学部 正員 ○ 室 達朗  
 ニッセキハウス工業(株) 白石 貴之  
 前田道路(株) 森川 宏之

**1. まえがき** 層理岩盤のリッピング掘削では走向と傾斜を考慮して如何なる方向で掘削するのが最も掘削抵抗を減少させ、機械の作業効率の向上に効果的であるかを究明することは省エネルギー対策上重要な課題である。ここでは、層理岩盤モデルとして所定の層理間隔で種々の走向と傾斜をなすセメントモルタル供試体を作成し、岩盤の掘削方向の変形係数と掘削力の関係、モデルチップの貫入に伴うセメントモルタルの破碎量と貫入仕事量、および単位貫入仕事量当たりの破碎量として表わされる破碎効率と走向・傾斜の関係について明らかにし、実際の岩盤掘削へ応用するための基礎資料をえることを目的としている。

**2. 層理岩盤モデル** 設計7日強度を10 MPaとしたセメントモルタルを使用し、層理間隔2cmで走向と傾斜をそれぞれ $\pi/6$  rad毎となるように厚さ0.1mmの薄い紙をジョイント部に入れ、7日養生後層理岩盤モデルとした。その大きさは40cm×25cm×25cmである。走向と傾斜は図1に示したように設定し、仮想地表面より深さ5cmの中央部においてモデルリッパチップに集中荷重を与え、各組の供試体数3として計32組の貫入試験を行った。7日養生後のセメントモルタルの一軸圧縮強度および圧裂引張強度は、それぞれ10.6 MPa, 1.30 MPaであり動弾性係数 $E_{dyn}$ は $13.2 \times 10^3$  MPa、変形係数 $E_{50}$ は1060 MPaであった。ジョイント部分の摩擦係数は $1.06 \pm 0.06$ と計測された。

**3. 実験結果と考察** 実験装置は300KNアムスラー試験機を使用して、先端径1cmのモデルチップの貫入力と貫入量、および破碎後のセメントモルタルの破壊体積を求めた<sup>1)</sup>。なお、岩盤モデルの仮想地表面と載荷面を除く他の4面は剛な鋼板によって変位拘束して実験を行った。図2は、供試体の仮想地表面において計測した縦波および横波超音波伝播速度より算定した動弾性係数 $E_{dyn}$ の分布である。傾斜の大きさ如何に拘らず走向方向の $E_{dyn}$ が最大値を示し、走向と直角方向において最小値を示している。チップの最大貫入力 $F_{max}$ と走向の貫入方向とのなす角 $\alpha$ 、水平面との傾斜角 $\beta$ との関係を図3に示す。ここに、 $\beta$ は逆目を正、順目を負とし、 $\alpha$ は時計回りの角度を正とし0から $\pi$ の範囲にある。

なお、層理岩盤の亀裂係数は $\beta = \pm \pi/6, \pm \pi/3, \pm \pi/2$ に対し、それぞれ走向と直角順目方向に最大値0.221, 0.735, 0.571と計測された。

一方、岩盤モデルの変形係数 $E_d$ は静弾性係数 $E$ の約 $1/2$ で与えられる<sup>2)</sup>ので、この場合、チップの初期貫入時の単位貫入量当たりの貫入力に4.63を乗じた値として算定され

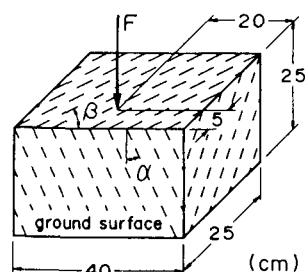
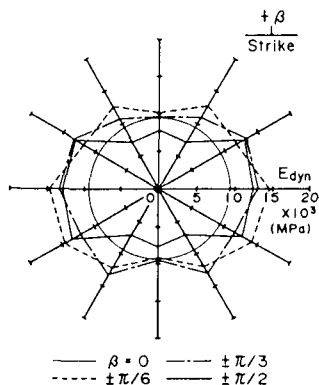
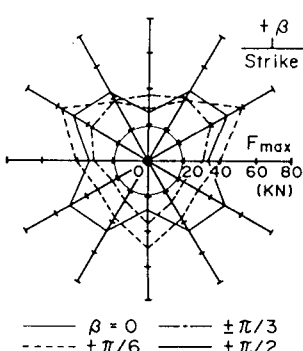
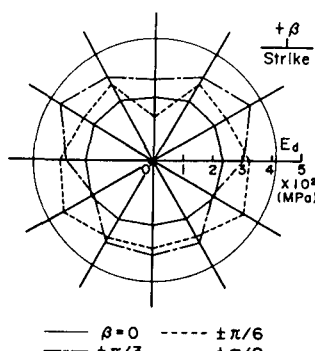


図1 岩盤モデル

図2 動弾性係数 $E_{dyn}$ の分布図3 最大貫入力 $F_{max}$ の分布図4 変形係数 $E_d$ の分布

る。この方法で求めたEdは、チップの層理岩盤に対する一方向載荷より求めており、谷本ら<sup>3)</sup>の試験方法では明らかにできない順目と逆目の差異を明確に表現している。図4は、Edのα, βに対する分布を示したものである。

以上得られたEdyn, FmaxおよびEdとα, βの関係を実験式として表わすと、各βの値に対して、一般に次式が成立する。

$$Edyn, Fmax, Ed = a(\alpha - b)^2 + c \quad (1)$$

ここに、定数a, b, cは相関係数rとともに表1に示した。

なお、 $\beta = \pm\pi/6$ ,  $\pm\pi/3$ ,  $\pm\pi/2$ に対してそれぞれFmax, Edは走向と直角逆目、順目の $\pi/6$ と $5\pi/6$ 、走向に対して最小値をとるなどFmaxとEdの間には高い相関性が認められ、次式で示す実験式がえられた。

$$Fmax = 0.122 Ed \quad (r = 0.97) \quad (2)$$

なお、逆方向のFmax, Edが $\alpha = \pi/6$ ,  $5\pi/6$ で最大値をとっているのは破壊形式が全般破壊であるのに対し、走向直角方向でのそれらが減少しているのは部分破壊によるものであり、両者の蓄積エネルギー量が異なるためである。

次に、岩盤モデルの破壊体積Vcを測定するとともにチップの貫入仕事量Fℓを算定した。写真1は、 $\alpha = 2\pi/3$ ,  $\beta = -\pi/3$ の場合の破壊状況である。図5は単位貫入仕事量当たりの破碎量で与えられる破碎効率Vc/Fℓの分布を種々のα, βに対して示した。前図4と比較すると、種々のβの値に対してEdが小さい程破碎効率は増大する傾向にある。 $\beta = \pi/6$ で走向直角逆目方向に、 $\beta = -\pi/3$ で $\alpha = \pi/6$ と $5\pi/6$ の方向に、また $\beta = \pm\pi/2$ で走向直角方向に全般破壊しておりVc/Fℓは卓越している。なお、図6に示すように、種々のβに対してFℓはEdとともに直線的に増大することが明らかとなった。

**4.まとめ** 室内岩盤モデル試験の結果、動弾性係数からだけでは走向・傾斜とくに逆目、順目の力学的異方性を検知することはできないこと、すべての傾斜角に対して最大貫入力と変形係数は走向方向と時計回り $\pi/6$ と $5\pi/6$ の逆目方向において最大となり、 $\beta = -\pi/6$ ,  $-\pi/3$ において $\alpha = \pi/6$ と $5\pi/6$ の順目方向、 $\beta = -\pi/2$ において走向に直角方向の順目に対して最小となること、および岩盤の変形係数が小さい程掘削効率は増大することが判明した。

**5.参考文献** 1) 室、河原、松岡：節理岩盤の掘削力に関する実験的考察、土木学会第40回年次学術講演会、1985。 2) 桜井：原位置岩盤の試験とその結果の評価、材料、第31卷、第347号、1982。 3) 谷本、畠、西尾：不連続面の剛性を考慮したボアホールジャッキ試験結果の評価、第17回岩盤力学に関するシンポジウム論文集、1985。

表1 動弾性係数Edyn, 最大貫入力Fmax, 変形係数Ed

	$\beta$	a		b		c		相関係数 r
		$0 \leq \alpha \leq \pi$	$0 \leq \alpha \leq \pi/2$	$\pi/2 < \alpha \leq \pi$	$0 \leq \alpha \leq \pi$	$0 \leq \alpha \leq \pi/2$	$0 \leq \alpha \leq \pi$	
E dyn (MPa)	$\pm\pi/6$	-1.84 × 10 <sup>3</sup>	0	$\frac{\pi}{2}$	1.41 × 10 <sup>4</sup>	0.90		
	$\pm\pi/3$	-1.50 × 10 <sup>3</sup>	0	$\frac{\pi}{2}$	1.32 × 10 <sup>4</sup>	0.88		
	$\pm\pi/2$	-2.35 × 10 <sup>3</sup>	0	$\frac{\pi}{2}$	1.23 × 10 <sup>4</sup>	0.81		
F max (KN)	$-\pi/6$	+ 20.4	0.216 $\pi$	0.784 $\pi$	31.7	0.99		
	$-\pi/3$	+ 15.4	0.216 $\pi$	0.784 $\pi$	22.7	0.99		
	$\pm\pi/2$	- 32.8	0.226 $\pi$	0.774 $\pi$	49.9	0.99		
	$+\pi/3$	- 12.5	0.294 $\pi$	0.706 $\pi$	40.9	0.99		
	$+\pi/6$	- 29.5	0.178 $\pi$	0.822 $\pi$	53.0	0.91		
Ed (MPa)	$-\pi/6$	- 25.8	0.137 $\pi$	0.863 $\pi$	355.6	0.68		
	$-\pi/3$	+ 107.8	0.250 $\pi$	0.750 $\pi$	254.7	0.75		
	$\pm\pi/2$	- 91.2	0.225 $\pi$	0.775 $\pi$	264.8	0.71		
	$+\pi/3$	- 71.8	0.207 $\pi$	0.793 $\pi$	367.6	0.88		
	$+\pi/6$	- 80.6	0.072 $\pi$	0.928 $\pi$	340.3	0.95		

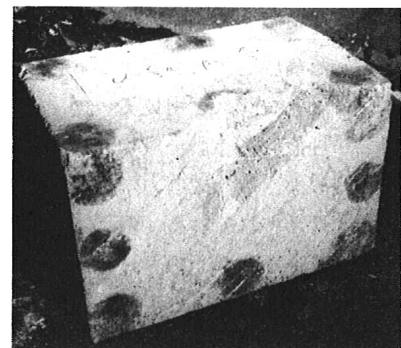


写真1 岩盤モデルの破壊状況

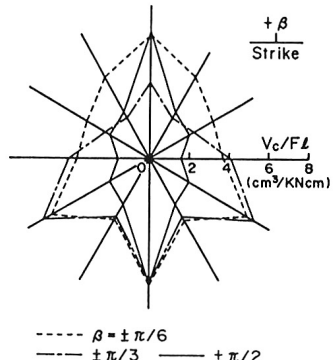


図5 破碎効率Vc/Fℓの分布

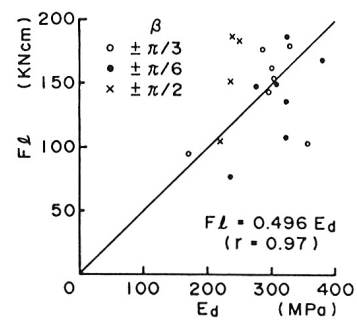


図6 貫入仕事量Fℓと変形係数Ed